

تحلیل دینامیکی اندرکنش روکش بتنی و بخش سنگ‌ریزه‌ای سدهای سنگ‌ریزه‌ای با روکش بتنی

علی‌محمد رجبی*، دانشگاه تهران، گروه زمین‌شناسی مهندسی

علیرضا سجده، دانشگاه قم، دانشکده مهندسی عمران

پذیرش ۹۷/۰۶/۰۶

تاریخ: دریافت ۹۶/۰۱/۱۶

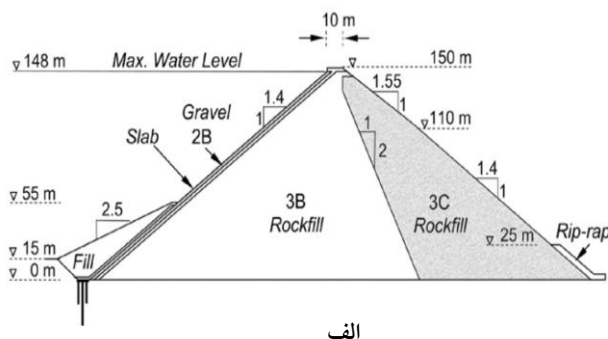
چکیده

سدهای سنگ‌ریزه‌ای با روکش بتنی به دلیل نداشتن وابستگی زیاد به بستر و شکل دره و نیز تکنولوژی ساده‌ترساخت، در سال‌های اخیر بیش از انواع دیگر سدها مورد توجه قرار گرفته است. رفتار این نوع سازه‌ها تحت بارگذاری زلزله به عوامل زیادی مانند روکش بتنی و اصطکاک آن با سنگ‌دانه‌ها و شرایط تکیه‌گاهی آن بستگی دارد و برای تعیین دقیق این رفتار نیاز به تحقیقات عددی با انجام تحلیل‌های دینامیکی تاریخچه زمانی است. در این پژوهش با مدل‌سازی در محیط نرم‌افزار آباکوس، رفتار لرزه‌ای سدهای سنگ‌ریزه‌ای با روکش بتنی با در نظر گرفتن پارامترهای ذکر شده بررسی شده است. به این منظور دو رکورد از زلزله‌های نزدیک گسل انتخاب شده و تحلیل دینامیکی غیرخطی انجام شده است. نتایج نشان می‌دهد با افزایش ضریب اصطکاک روکش بتنی، جذب انرژی به میزان اندکی افزایش می‌یابد. هم‌چنین با مقیدکردن روکش بتنی به بخش سنگ‌ریزه‌ای تفاوت چشم‌گیری در تاریخچه تغییرمکان نسبی تاج سد مشاهده می‌شود و در این شرایط تغییرمکان تاج سد در هر دو رکورد کاهش می‌یابد. در شرایط مقیدکردن روکش بتنی به بخش سنگ‌ریزه‌ای، جذب انرژی به‌طور چشم‌گیری افزایش یافته و روکش بتنی در انتهای رکورد دچار خرابی کامل شده است. به‌علاوه با افزایش تراز آب، تغییرشکل تاج سد در جهت اعمال رکورد زلزله افزایش چشم‌گیری نشان می‌دهد، به‌گونه‌ای که در حالت پر، بیشینه تغییرمکان نسبت به حالت خالی به‌طور میانگین ۳۰٪ افزایش یافته است.

واژه‌های کلیدی: سد سنگ‌ریزه‌ای با روکش بتنی، تحلیل دینامیکی، اجزای محدود، اندرکنش، تراز آب.

مقدمه

سدهای سنگ‌ریزه‌ای با روکش بتنی به دلیل نداشتن وابستگی زیاد به بستر و شکل دره و نیز تکنولوژی ساده‌تر ساخت، در سال‌های اخیر بیش از انواع دیگر سدها مورد توجه قرار گرفته است. در این راستا سدهای سنگ‌ریزه‌ای به دلیل پایداری بیش‌تر بدنه و در دسترس بودن مصالح سنگی، جای‌گزین مناسبی برای سدهای خاکی محسوب می‌شوند. از طرف دیگر از آن‌جاکه نفوذپذیری مصالح سنگی بسیار بیش‌تر از سایر مصالح است، از این‌رو، روش‌های مختلفی برای آب‌بندی این نوع سدها به‌کار گرفته می‌شود. یکی از این روش‌ها استفاده از پوشش نفوذناپذیر بتن‌آرمه در بالادست این سدها است. این نوع خاص سدهای سنگ‌ریزه‌ای به‌نام سدهای سنگ‌ریزه‌ای با رویه بتنی (CRFD) نامیده می‌شوند [۱]، [۲]. مصالح بدنه سدهای سنگ‌ریزه‌ای با رویه بتنی مانند سدهای خاکی محدوده وسیع‌تری از دانه‌بندی را تشکیل می‌دهد. با این تفاوت که ابعاد دانه‌های آن نسبت به بدنه سدهای خاکی درشت‌تر است. در این نوع سدها شیب بالادست و پایین‌دست معمولاً تندتر از سدهای خاکی انتخاب می‌شود زیرا پایداری بیش‌تری نسبت به سدهای خاکی دارند. بنابراین حجم مصالح خاکی و سنگی مصرفی در آنها کم‌تر است. عنصر نفوذناپذیر در این نوع سدها رویه بتنی است و به‌دلیل اهمیت عملکردش باید مورد توجه ویژه قرار گیرد. در شکل ۱ مقطع و نمای سد مسوچورا در یونان به‌عنوان نمونه‌ای از سدهای سنگ‌ریزه‌ای با روکش بتنی نشان داده شده است [۳]، [۴].



الف

1. Concrete-Faced Rockfill Dams



شکل ۱. الف) مقطع و ب) نمای سد مسوچورای یونان به‌عنوان نمونه‌ای از سدهای سنگریزه‌ای با روکش بتنی [۴]

در سال‌های اخیر تحلیل پایداری در بیش‌تر سدهای سنگریزه‌ای با رویه بتنی به‌وسیله طراحان انجام نشده است و شیب‌های جانبی صرفاً بر پایه تجارب و بدون محاسبه انتخاب شده است. بر اساس یک قاعده کلی شیب جانبی را می‌توان برابر با شیب پایدار خاکریزی از مصالح بدنه و عمدتاً در حدود $۱:۱/۳$ تا $۱:۱/۴$ (افقی: قائم) انتخاب کرد. پایداری این سدها در برابر بارگذاری زلزله از جمله موضوعاتی است که اخیراً به‌وسیله محققان مختلف بررسی شده است. روشی مناسب برای بررسی رفتار این سدها، استفاده از روش اجزای محدود است. بررسی‌های محققان گذشته نشان می‌دهد که شبیه‌سازی اجزای محدود می‌تواند رفتار سدهای سنگریزه‌ای با پوشش بتنی را به‌نحو مناسبی پیش‌بینی کند [۵]، [۶]. ژانگ^۱ و ژانگ (۲۰۰۹) مدل‌سازی عددی اندرکنش خاک-سازه را در یک سد سنگریزه‌ای با روکش بتنی بررسی کردند [۶]. در این پژوهش به‌منظور شبیه‌سازی جداشدگی دو سطح و تماس مجدد روکش بتنی با سطح سنگریزه‌ای سد، یک المان تماسی با تعریف خرابی الاستیک-پلاستیک^۲ در فرایند مدل‌سازی منظور شده است. آن‌ها یک المان تماسی با تعریف خرابی الاستیک-پلاستیک^۳ برای شبیه‌سازی جداشدگی دو سطح و تماس مجدد روکش بتنی با سطح سنگریزه‌ای سد را بررسی کردند. نتایج این تحقیق نشان داد که اندرکنش در نظر

1. Zhang

2. Elastic-plastic-failure

3. Elastic-plastic-failure

گرفته شده تأثیر چشم‌گیری بر دقت شبیه‌سازی سد دارد [۶]. لیو و همکاران (۲۰۱۴) با انجام آزمایش میز لرزه‌ای روی مدل بزرگ مقیاس سد سنگ‌ریزه‌ای با روکش بتنی، چهار روش مقاوم‌سازی شامل: مقاوم‌سازی ناحیه بالایی با ژئوگرید، محافظت از سطح شیب بخش پایین دست با بلوک سنگی، جای‌گزینی ناحیه بالایی سد با مصالح سنگ‌ریزه‌ای همراه با تزریق سیمان و جای‌گزینی ناحیه بالایی سد با لایه بتنی را بررسی کردند [۷]. نتایج نشان داد روش‌های مقاوم‌سازی استفاده شده می‌تواند یک‌پارچگی سد را افزایش داده و تغییر شکل‌ها را به‌طور چشم‌گیری کاهش دهد [۷]. بین و همکاران (۲۰۱۲) شبیه‌سازی سه‌بعدی سد سنگ‌ریزه‌ای با روکش بتنی زیپینگ‌پو چین را با استفاده از مدل پلاستیسیته عمومی شده در حین ساخت انجام دادند [۸]. نتایج نشان داد مدل شبیه‌سازی شده انطباق مناسبی با مقادیر حاصل از رفتارنگاری سد دارد. پژوهش‌های مشابهی نیز به‌وسیله سایر محققان انجام شده است [۹]، [۱۰].

شبیه‌سازی دقیق رفتار سد در نرم‌افزار آباکوس^۱ [۱۱]، نیازمند مدل‌سازی دقیق هندسه، مصالح، بارگذاری، شرایط تکیه‌گاهی، اندرکنش‌های موجود و مش‌بندی با ابعاد مناسب است. معمولاً در بررسی‌های مشابه، به بررسی رفتار سد در بارگذاری استاتیکی بسنده شده است [۱۲]، [۱۳]، [۱۴]. سالمی و میرقاسمی (۱۳۹۳)، تماس بین رویه بتنی و سنگ‌ریزه بستر آن، همچنین تماس دال‌های بتنی مجاور را در نرم‌افزار آباکوس مدل‌سازی کردند. رفتار بتن تحت بارگذاری سد الاستوپلاستیک فرض شد و از مدل رفتاری موهر-کولمب برای مصالح سنگ‌ریزه‌ای استفاده شد. نتایج نشان داد با تعریف سطوح تماس توزیع متفاوتی از تنش در رویه بتنی و شتاب در تاج سد ایجاد می‌شود [۱۵].

با توجه به این‌که در پژوهش‌های پیشین، اثر آب پشت سد در تحلیل‌های لرزه‌ای کم‌تر بررسی شده است، در این پژوهش در نظر است ضمن مدل‌سازی دینامیکی در محیط نرم‌افزار آباکوس، رفتار یک سد سنگ‌ریزه‌ای با روکش بتنی بررسی شده و اندرکنش بین رویه بتنی و بخش سنگ‌ریزه‌ای سد و نیز تأثیر تغییر تراز آب در پایداری سد در شرایط دینامیکی بررسی شود.

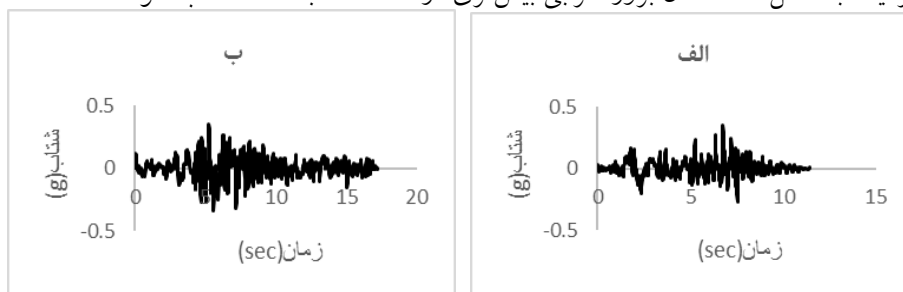
1. Abaqus V. 6.14.2

روش تحقیق

در این پژوهش، رفتار یک سد سنگریزه‌ای با روکش بتنی در بارهای ناشی از زلزله بررسی شده است. به این منظور از زلزله‌های نزدیک گسل با عمق کانونی کم‌تر از ۱۵ کیلومتر استفاده شده است. هم‌چنین به منظور بررسی رفتار سد در مقابل بارهای دینامیکی، اندرکنش بین رویه بتنی و بخش سنگریزه‌ای سد بررسی شده و در نهایت پارامترهایی از قبیل تغییرمکان، انرژی جذب شده و برش تکیه‌گاهی بررسی شده‌اند. بر این اساس، در این پژوهش ضمن استفاده از روش اجزای محدود و شبیه‌سازی در محیط نرم‌افزار آباکوس، ابتدا با بهره‌گیری از نتایج تحقیقات قبلی و تحلیل مودال و تعیین فرکانس‌های طبیعی ارتعاش سد با استفاده از دو زلزله مینا، صحت‌سنجی مدل انجام شده است. سپس اندرکنش روکش بتنی و بخش سنگریزه‌ای سد و هم‌چنین تأثیر تغییر تراز آب در پایداری سد تحت بارگذاری دینامیکی بحث و بررسی شده است.

۱. مشخصات زلزله‌های در نظر گرفته شده

در شکل ۲ رکورد زلزله‌های طبس (سال ۱۳۵۷ با بزرگای $7/4$ در مقیاس ریشتر) و سان فرناندو (سال ۱۳۴۹ با بزرگای $6/6$ ریشتر) نشان داده شده است. رکوردها با استفاده از برنامه سائزموسیگنال^۱ نرمالیزه شده و زمان مؤثر رکورد تعیین و اعمال شده است. با توجه به زمان-بر بودن و محدودیت فرایند مدل‌سازی سعی شده تا رکوردهایی با ماهیت ضربه‌ای و از نوع نزدیک به گسل که احتمال بروز خرابی بیش‌تری در سد داشته باشند، انتخاب شود.



شکل ۲. تاریخچه رکورد شتاب نرمالیزه شده با شتاب $0.35g$. (الف) برای زلزله‌های الف) سان فرناندو، ب) طبس

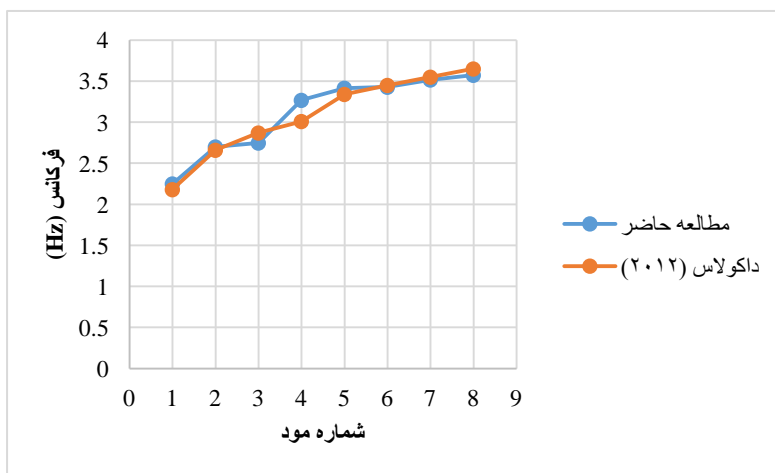
تکیه‌گاه در نظر گرفته شده و تنها بخش سنگریزه‌ای و بتنی سد شبیه‌سازی شده است. براین اساس با فرض صلب بودن بستر سنگی، نیازی به در نظر گرفتن پی سد وجود ندارد. این روش در اغلب مقالات موجود در ادبیات تحقیق به کار گرفته شده است. تمامی سطوح زیرین در محل بستر سد به عنوان تکیه‌گاه گیردار در نظر گرفته شده‌اند تا حالت واقعی را که سد به سنگ بستر و تکیه‌گاه متصل می‌شود، شبیه‌سازی کند. اندرکنش لایه‌های سد به صورت بستن درجات آزادی متناظر سطوح تماس انجام شده است. برای تعریف اندرکنش لایه بتنی و سد از تعریف اندرکنش مماسی و نرمال سطح به سطح با ضریب اصطکاک 0/5 استفاده شده است. در مرحله بعد مش‌بندی با استفاده از المان‌های پوسته‌ای چهارگرمی، المان سه‌بعدی شش وجهی هشت‌گرمی و المان‌های هرمی چهارگرمی انجام شده است. برای تعریف میرایی مصالح، از میرایی رایلی استفاده شده است. هم‌چنین طول مورد نیاز برای دریاچه مخزن سد، طول مؤثر بوده است و با انجام چندین تحلیل به دست آمده است. به طوری که حداقل طول لازم برای دریاچه مخزن سد به دست آید و تعداد المان‌ها در مدل عددی بیش از مقدار لازم نباشد.

با انجام تحلیل فرکانسی سد، مشخصات 10 مود اول آن استخراج شده است. نتایج حاصل از این تحلیل برای 10 مود اول در جدول 1 نشان داده شده است

جدول 1. نتایج تحلیل مودال سد مورد نظر، استخراج شده از نرم‌افزار آباکوس

شماره مد	مقادیر ویژه	فرکانس		جرم نرمال شده ($\times 10^4$)
		(رادیان / زمان)	(سیکل / زمان)	
1	5/0613	2/2497	0/35806	19/31
2	7/2900	2/7000	0/42972	11/52
3	7/5527	2/7482	0/43739	15/44
4	10/680	2/2681	0/52013	12/69
5	11/667	3/4158	0/54364	7/47
6	11/750	3/4278	0/54555	8/11
7	12/363	3/5161	0/55961	10/96
8	12/770	3/5735	0/56764	11/83
9	14/549	3/8143	0/60706	22/76
10	16/756	4/0934	0/65148	13/85

شکل ۴ نتایج صحت‌سنجی یا به عبارتی، مقایسه نتایج فرکانس مودهای ارتعاش طبیعی اول تا دهم حاصل از تحلیل عددی در این پژوهش و نتایج داکولاس (۲۰۱۲) را نشان می‌دهد. مطابق شکل ۴ انطباق مناسبی میان نتایج این دو پژوهش وجود دارد. بیش‌ترین میزان اختلاف مربوط به مود چهارم و برابر ۱۰٪ است.



شکل ۴. مقایسه نتایج حاصل از پژوهش حاضر و داکولاس (۲۰۱۲) برای فرکانس مودهای ارتعاش طبیعی اول تا دهم

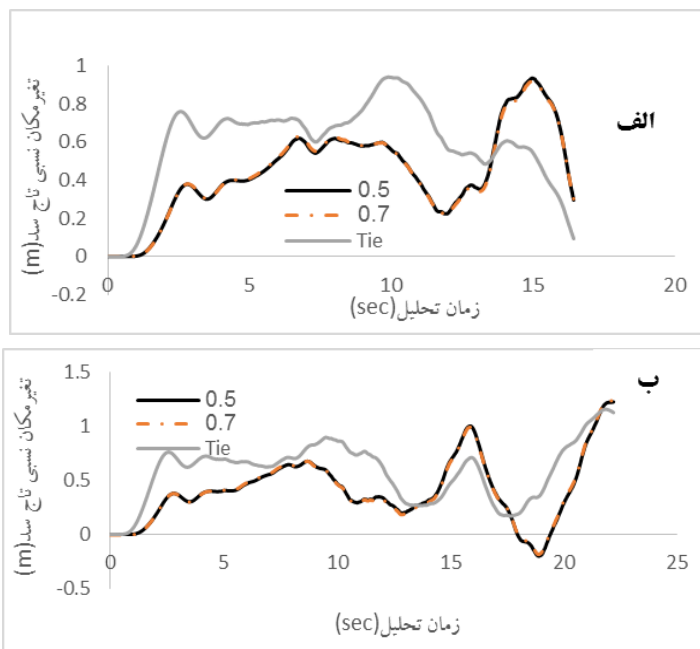
پس از اطمینان از دقت نتایج به دست آمده از مدل‌سازی، تأثیر اندرکنش بین روکش بتنی و بخش سنگ‌ریزه‌ای سد و همچنین تراز آب روی رفتار سد بررسی شده است. تحلیل دینامیکی غیرخطی با در نظر گرفتن تغییرشکل‌های بزرگ انجام شده و بار وارده به نمونه‌ها، در گام اول وزن سد و در گام بعد تاریخچه شتاب زلزله‌های طبس و سان فرناندو در نظر گرفته شده است.

نتایج و بحث

۱. اندرکنش بین روکش بتنی و بخش سنگ‌ریزه‌ای سد

چنان‌که پیش‌تر ذکر شد به منظور بررسی اندرکنش بین روکش بتنی و بخش سنگ‌ریزه‌ای بر رفتار سد، دو رکورد زلزله به سد وارد شده و تحلیل دینامیکی غیرخطی انجام شده است. شکل ۵ هریک از

رکوردهای بررسی شده را در شرایط ضریب اصطکاک بین رویه بتنی و قسمت سنگریزه‌ای برابر با 0/5، 0/7 و هم‌چنین در حالت قید کامل روکش سد به بخش سنگریزه‌ای را نشان می‌دهد. لازم به ذکر است در 5 ثانیه اول تحلیل، بار وزن سازه به آن اعمال شده و بعد از آن در حالی که بار وزن بر روی سازه وجود دارد، رکورد زلزله به صورت شتاب به تکیه‌گاه‌های سازه وارد شده است.

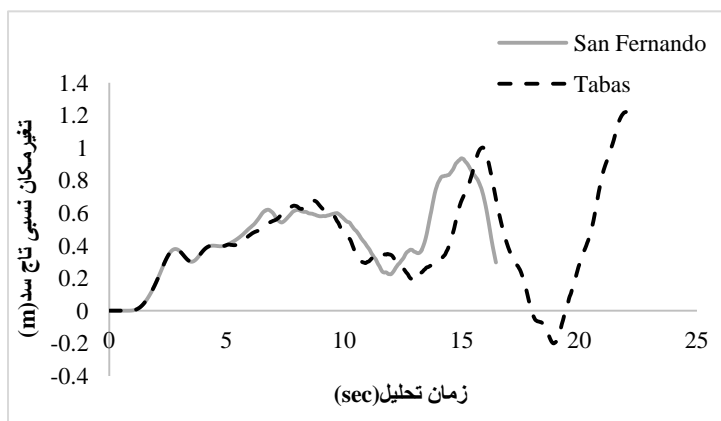


شکل 5. تغییر مکان افقی تاج سد نسبت به کف آن تحت زلزله‌های الف) سان فرناندو، ب) طبس، به‌ازای ضرایب اصطکاک بین رویه بتنی و قسمت سنگریزه‌ای برابر با 0/5، 0/7 و قید کامل روکش بتنی به بخش سنگریزه‌ای

مطابق شکل 5، افزایش ضریب اصطکاک بین رویه بتنی و قسمت سنگریزه‌ای از 0/5 به 0/7 تأثیری بر تغییر مکان تاج سد در جهت اعمال بار زلزله نداشته است. با این حال وقتی روکش بتنی به بخش سنگریزه‌ای متصل شده است، تفاوت چشم‌گیری در تاریخچه تغییر مکان نسبی تاج سد مشاهده می‌شود. در تمامی موارد، تغییر مکان ناشی از وزن سد با متصل کردن روکش بتنی به بخش سنگریزه‌ای افزایش یافته است. دلیل این موضوع را می‌توان عدم امکان جدایی روکش از بخش سنگریزه‌ای زیرین و در نتیجه نشست همراه با

این بخش دانست که باعث می‌شود بخش بتنی تاج سد در حالتی که به بخش زیرین اتصال کامل پیدا کرده است، تغییر مکان بیش‌تری را تجربه کند. با این حال پس از اعمال بار زلزله، تغییر مکان تاج سد در حالت اتصال روکش به بخش سنگ‌ریزه‌ای، بدون امکان لغزش و جداشدگی در هر دو رکورد کاهش یافته است. در شکل ۵ در همه حالات در انتهای نمودارها تغییر مکان به صفر نرسیده است. دلیل این موضوع اعمال زلزله در زمان مؤثر و حذف ۵ درصد انرژی اول و آخر آن است. از طرف دیگر، در ارتعاش آزاد پس از مدتی تغییر مکان به سمت تغییر مکان نهایی و ماندگار سازه میل می‌کند. در این پژوهش، به دلیل حجم بسیار بالای تحلیل و زمان‌بر بودن آن، امکان بررسی رفتار در بخش ارتعاش آزاد وجود نداشته است و بنابراین نمی‌توان تغییر مکان‌های به‌وجود آمده در انتهای تحلیل را تغییر شکل ماندگار دانست. شکل ۶ تغییر مکان نسبی تاج سد

شکل ۶. تغییر مکان افقی تاج نسبت به کف سد تحت زلزله‌های انتخابی (سان فرناندو و طبس)

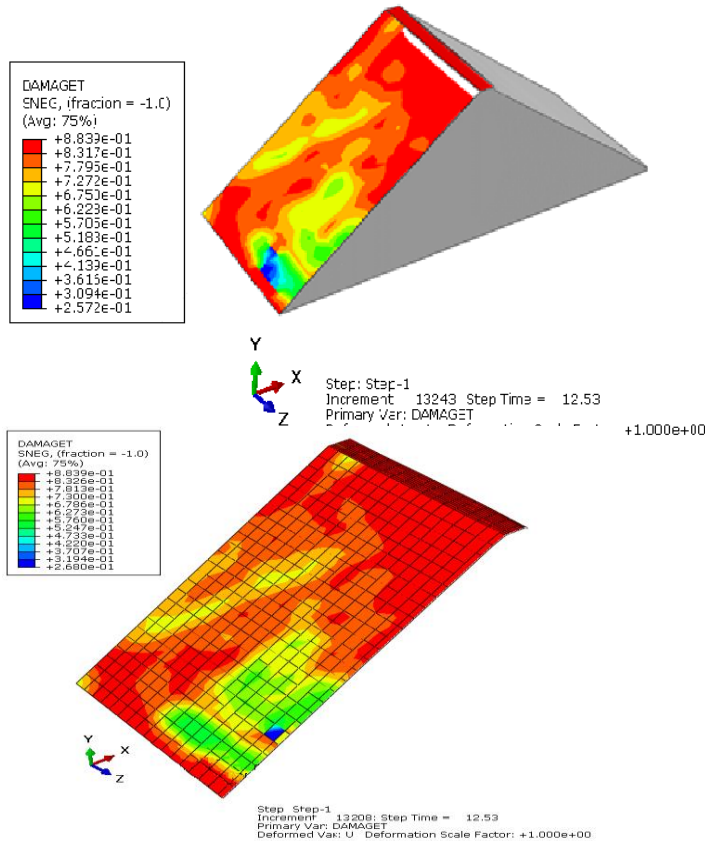


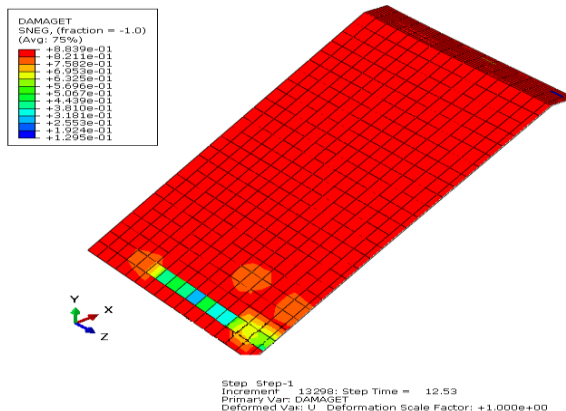
را برای دو زلزله وارد شده با ضریب اصطکاک بین رویه بتنی و قسمت سنگ‌ریزه‌ای برابر با ۰/۵ نشان می‌دهد. مطابق شکل ۶، بیش‌ترین میزان تغییر مکان مربوط به زلزله طبس و سپس سان‌فرناندو است. همچنین محتوای انرژی بالای رکورد طبس در ایجاد تغییر مکان بزرگ‌تر نسبت به سایر رکوردها مؤثرتر بوده است.

شکل ۷ میزان خرابی کششی روکش بتنی در سه حالت بررسی شده (ضریب اصطکاک بین رویه بتنی و قسمت سنگ‌ریزه‌ای برابر با ۰/۵، ۰/۷ و هم‌چنین حالت قید کامل روکش

سد به بخش سنگریزه‌ای) را برای زلزله طبس نشان می‌دهد. برای سادگی، سد از وسط در جهت محور Z برش زده شده است. در شکل ۷، کمیت خرابی عددی بدون بعد است که مقدار آن از ۰ (بدون آسیب) تا ۱ (خرابی کامل) در تغییر است.

مطابق با شکل ۷، اگر ضریب اصطکاک بین رویه بتنی و قسمت سنگریزه‌ای ۰/۵ باشد کم‌ترین خرابی را نسبت به ضریب اصطکاک ۰/۷ و حالت مقید دارد. هم‌چنین حالت مقید دارای بیش‌ترین خرابی است. در این حالت چون اتصال بین رویه بتنی و قسمت سنگریزه‌ای کامل است، کل جابه‌جایی قسمت سنگریزه‌ای به رویه بتنی منتقل شده و در نهایت باعث خرابی بیش‌تر قسمت رویه بتنی نسبت به بقیه حالت‌ها می‌شود.





شکل ۷. مقایسه خرابی کششی روکش بتنی در سه حالت؛ الف) ضریب اصطکاک ۰/۵، ب) ضریب اصطکاک ۰/۷، ج) حالت مقید

۲. تاثیر تراز آب پشت سد بر عملکرد آن

در این مرحله، تأثیر تراز آب واقع در پشت سد بر عملکرد آن تحت بار زلزله بررسی شده است. به این منظور مخزن سد در سه حالت خالی، نیمه پر و پر (۹۰ درصد ارتفاع سد) تحلیل شده است. هر یک از حالات بررسی شده، تحت رکورد زلزله‌های سان فرناندو و طبس بررسی شده‌اند (شکل ۸).

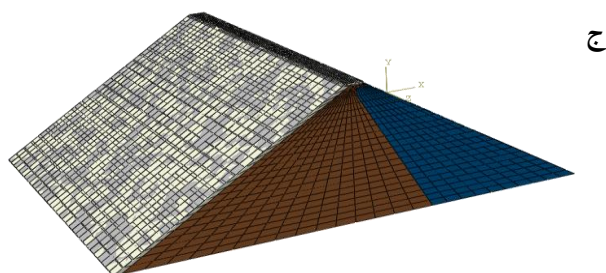
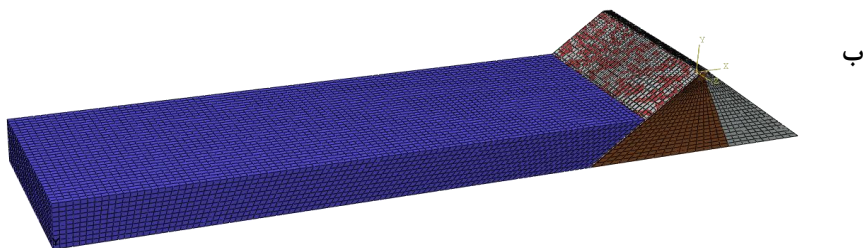
سیال آب با استفاده از معادله حالت Us-Up یعنی رابطه فشار- حجم- انرژی داخلی هوگونیوت و مطابق با رابطه (۱) تعریف شده و وسیکوزیته آب برابر ۰/۰۱ در نظر گرفته شده است.

$$U_s = C_0 + S \cdot U_p \tag{1}$$

در این رابطه C_0 سرعت صوت در محیط، S ثابت تجربی و U_p بیانگر سرعت ذرات سیال است. در این بررسی اندرکنش آب و روکش بتنی به صورت بدون اصطکاک شبیه‌سازی شده است. شکل ۹ رابطه بین تغییر مکان نسبی تاج سد در سه حالت خالی، نیمه پر و پر را به ترتیب برای زلزله سان فرناندو و طبس نشان می‌دهد.



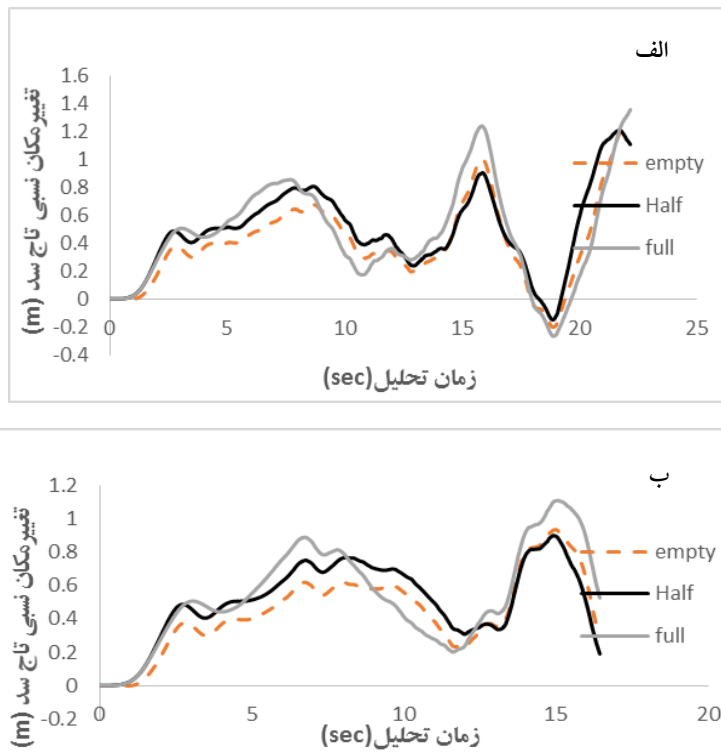
الف



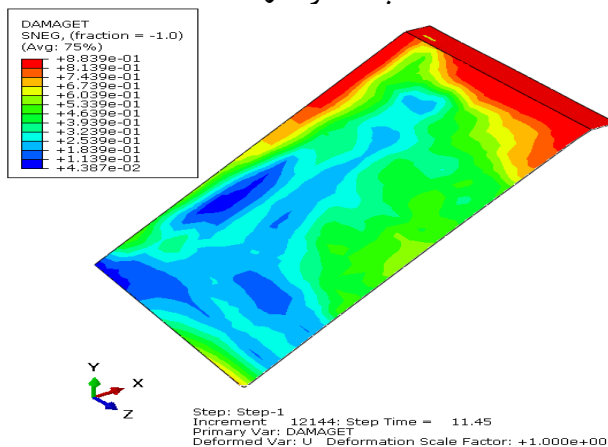
شکل ۸. مدل‌های سد بررسی شده در سه حالت؛ الف) پر، ب) نیمه‌پر، ج) خالی

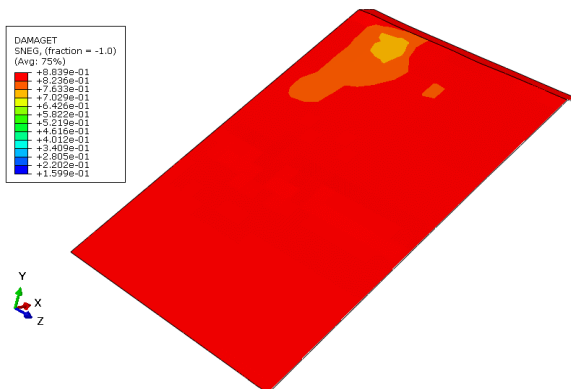
مطابق شکل ۹، برای هر دو زلزله، با افزایش تراز آب، تغییرشکل تاج سد در جهت اعمال رکورد زلزله نیز افزایش نسبتاً قابل ملاحظه‌ای داشته است، به گونه‌ای که در حالت پر، بیشینه تغییر مکان نسبت به حالت خالی حدود ۰.۵٪ افزایش نشان می‌دهد. در شکل ۱۰ میزان خرابی پوشش بتنی در سه حالت سد خالی، نیمه‌پر و پر برای زلزله طبس با هم مقایسه شده است.

مطابق با شکل ۱۰، به دلیل عدم توزیع یکنواخت بار در ارتفاع روی روکش بتنی (که سخت‌ترین بخش سد است)، در حالت نیمه‌پر بیش‌ترین میزان خرابی در روکش بتنی سد اتفاق افتاده است. به عبارتی در حالت نیمه‌پر در حین بارگذاری زلزله، به دلیل فشار وارده از آب به سد در نیمی از ارتفاع سد، خط شکست از محل سطح آب آغاز شده و سپس انتشار یافته است. این موضوع باعث شده تا شکست بیش‌تری در رویه بتنی در حالت نیمه‌پر اتفاق بیفتد. در حالت پر، هر چند نیروی کلی وارد به سد بیش‌تر است اما این نیرو به‌طور یکنواخت‌تری اعمال شده و در نتیجه تغییرشکل سد در حالت پر از حالت نیمه‌پر بیش‌تر است. به هر حال چنان‌که انتظار می‌رود میزان خرابی در حالت پر، به‌طور چشم‌گیری بیش‌تر از حالت سد خالی است

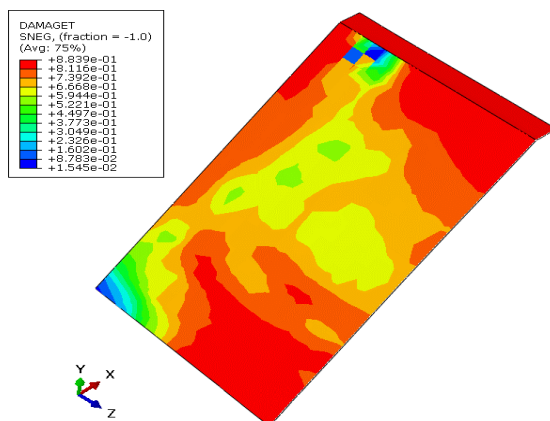


شکل 9. تغییر مکان نسبی تاج سد در سه حالت خالی، نیمه پر و پر برای زلزله‌های الف) طبس و ب) سانفرانسیسکو





Step: Step-1
Increment: 18333; Step Time = 17.20
Primary Var: DAMAGE
Deformed Var: U, Deformation Scale Factor: +1.000e+00



Step: Step-1
Increment: 18204; Step Time = 17.20
Primary Var: DAMAGE
Deformed Var: U, Deformation Scale Factor: +1.000e+00

شکل ۱۰. مقایسه خرابی روکش بتنی تحت زلزله طیس در سه حالت؛ الف) خالی، ب) نیمه پر و ج) پر

نتیجه گیری

در این تحقیق با استفاده از روش اجزای محدود و شبیه‌سازی با استفاده از نرم‌افزار آباکوس، رفتار لرزه‌ای سدهای سنگریزه‌ای با روکش بتنی بررسی شده است. به این منظور، در ابتدا صحت‌سنجی با استفاده از نتایج تحقیقات قبلی انجام شده است. درگام بعد تحلیل دینامیکی غیرخطی با در نظر گرفتن تغییرشکل‌های بزرگ برای نمونه‌هایی که تحت رکورد

شتاب زلزله قرار گرفته‌اند، انجام شده و نتایج بررسی شده است. نتایج نشان می‌دهد، افزایش ضریب اصطکاک بین رویه بتنی و قسمت سنگ‌ریزه‌ای از ۰/۵ به ۰/۷ تأثیر چشم‌گیری بر تغییر مکان تاج سد در جهت اعمال بار زلزله نداشته است. هم‌چنین با مقید کردن روکش بتنی به بخش سنگ‌ریزه‌ای تفاوت چشم‌گیری در تاریخچه تغییر مکان نسبی تاج سد مشاهده شده و هم‌چنین تغییر مکان ناشی از وزن سد افزایش یافته است. دلیل این موضوع را می‌توان عدم امکان جدایی روکش از بخش سنگ‌ریزه‌ای زیرین و در نتیجه نشست همراه با این بخش دانست که باعث می‌شود بخش بتنی تاج سد در حالتی که به بخش زیرین اتصال کامل پیدا کرده است تغییر مکان‌های بیش‌تری را تجربه کند. در بخش اعمال بار زلزله، تغییر مکان تاج سد در حالت متصل شده به بخش سنگ‌ریزه‌ای بدون امکان لغزش و جداشدگی در هر دو رکورد کاهش داشته است و با افزایش ضریب اصطکاک، میزان جذب انرژی به‌میزان اندکی (حدود ۸٪) افزایش یافته است. با این حال وقتی روکش بتنی به بدنه سنگ‌ریزه‌ای مقید شده، جذب انرژی به‌طور چشم‌گیری (حدود ۲۵ برابر) افزایش یافته است و در اغلب نقاط روکش بتنی در انتهای رکورد دچار خرابی کامل شده است. نتیجه این‌که هر چند افزایش جذب انرژی پدیده مطلوبی است، اما وقتی که روکش بتنی به بدنه سنگ‌ریزه‌ای مقید شده، با خرابی کامل روکش بتنی سد نفوذناپذیری خود را به‌طور کامل از دست داده و پیوستگی آن نیز به‌دلیل عدم بقای روکش بتنی به‌طور چشم‌گیری آسیب می‌بیند. بنابراین به‌نظر می‌رسد مقید کردن روکش بتنی به بخش سنگ‌ریزه‌ای عمل مطلوبی نباشد. این پدیده در خصوص هر دو زلزله انتخاب شده در تحلیل (طبس و سان فرناندو) مشاهده شد. هم‌چنین نتایج این پژوهش نشان می‌دهد با افزایش تراز آب، تغییر شکل تاج سد در جهت اعمال رکورد زلزله افزایش نسبتاً چشم‌گیری داشته است، به‌گونه‌ای که در حالت پر، بیشینه تغییر مکان نسبت به حالت خالی حدود ۵۰٪ افزایش یافته است. این در حالی است که بیش‌ترین آسیب روکش بتنی مربوط به حالت نیمه‌پر سد است. با توجه به قدرت آسیب بیش‌تر زلزله‌های نزدیک به گسل و ماهیت ضربه‌ای آنها، در این تحقیق تنها زلزله‌های نزدیک به گسل استفاده شده قرار گرفته است. بنابراین نتایج این پژوهش تنها در خصوص رفتار سد تحت زلزله‌های نزدیک به گسل معتبر است.

منابع

1. Bayraktar A., Hacıfendioglu K., Muvafik M., "Asynchronous seismic analysis of concrete-faced rockfill dams including dam-reservoir interaction", Canadian Journal of Civil Engineering. Vol. 32, No. 5 (2005).
2. Bayraktar A., Kartal M. E., "Linear and nonlinear response of concrete slab on CFR dam during earthquake", Soil Dynamics and Earthquake Engineering. Vol. 30, No. 10 (2010).
3. Haeri S. M., Karimi M., "Three dimensional response of concrete faced rockfill dams to strong earthquakes considering dam-foundation interaction and spatial variable ground", 1st European conference on earthquake engineering and seismology, Vol. 43, No. 11 (2006) 143-154.
4. Bilici Y., Bayraktar A., Soyuluk K., Hacıfendioglu K., Ates S., Adanur S., "Stochastic dynamic response of dam-reservoir-foundation systems to spatially varying earthquake ground motions", Soil Dynamics and Earthquake Engineering. Vol. 29, No. 3 (2009) 444-58.
5. Hunter G., Fell R., "Rockfill modulus and settlement of concrete face rockfill dam", Geotechnical and Geoenvironmental Engineering. Vol. 129, No. 10 (2003) 909-917.
6. Zhang G., Zhang J. M., "Numerical Modeling of Soil-Structure Interface of a Concrete-Faced Rockfill Dam", Computers and Geotechnics. Vol. 36, No. 5 (2009) 762-772.
7. Liu J., Liu F., Kong X., Yu L., "Large-Scale Shaking Table Model Tests of Aseismic Measures for Concrete Faced Rock-Fill Dams", Soil Dynamics and Earthquake Engineering, 61-62 (2014) 152-163.

8. Bin X., Zou D., Liu H., "Three-Dimensional Simulation of the Construction Process of the Zipingpu Concrete Face Rockfill Dam Based on a Generalized Plasticity Model", *Computers and Geotechnics*, Vol. 43, No. 3 (2012) 143-154.
9. Areias P. M. A., Belytschko T., "Analysis of Three-Dimensional Crack Initiation and Propagation Using the Extended Finite Element Method", *International Journal for Numerical Methods in Engineering*. Vol. 63, No. 55 (2005) 760-788.
10. Han G., Kong X., Li J., "Dynamic experiments and numerical simulations of model concrete faced rockfill dams", 9th world conference on earthquake engineering. Japan Association for Earthquake Disaster Prevention, Tokyo (1988).
11. ABAQUS finite element software, Ver. 6.14.2, Simulia, (2014).
12. Atluri S. N., Shen S., "The Meshless Local Petrov-Galerkin (MLPG) Method", Tech Science Press, USA, (2002).
13. Justo J. L., Segovia F., Jarmillo A., "Three dimensional joint elements applied to concrete-faced dams", *International Journal for Numerical and Analytical Methods in Geomechanics*, Vol. 19, No. 9 (1995) 615-36.
14. Udvardia F. E., Trifunac M. D., "Ambient Vibration Test of Full Scale Structures", 5th World Conf. On Earthquake Engineering. Rome, (1973).
۱۵. سالمی س.، میرقاسمی ع. ا.، "بررسی اندرکنش رویه بتنی با بستر سنگ‌ریزه‌ای در تحلیل دینامیکی سه‌بعدی سدهای سنگ‌ریزه‌ای با رویه بتنی"، پنجمین کنفرانس ملی زلزله و سازه (۱۳۹۳).
16. Dakoulas P., "Nonlinear seismic response of tall concrete-faced rockfill dams in narrow canyons", *Soil Dynamics and Earthquake Engineering*, Vol. 34, No. 1 (2012) 11-24.